

Э. В. БЕЛУБЕКЯН

ИЗГИБ СВОБОДНО ОПЕРТОЙ ПО КОНТУРУ  
 ПРЯМОУГОЛЬНОЙ ПЛАСТИНКИ С СИММЕТРИЧНЫМ  
 РАЗРЕЗОМ

В работе рассматривается задача поперечного изгиба прямоугольной свободно опертой по контуру пластинки с разрезом, расположенным вдоль одной из осей симметрии прямоугольника симметрично относительно другой оси, под действием симметричной нагрузки.

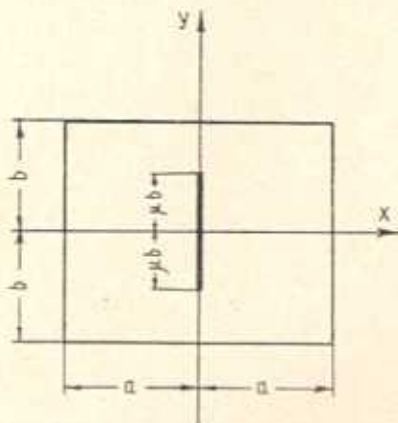
При решении задачи применен метод дополнительных воздействий, разработанный в работе [1].

Задача сведена к решению „парных рядов“, неизвестные коэффициенты которых определяются из вполне регулярной бесконечной системы линейных алгебраических уравнений.

Приведены численные расчеты для случаев изгиба квадратной и бесконечной пластин с разрезом длины, равной половине ширины пластинки, под действием равномерно распределенной нагрузки.

Задача об изгибе прямоугольной пластинки с разрезом, идущим от кромки до половины одной из осей пластинки исследовалась в работе [2].

1. Рассматривается симметричная относительно осей  $x$  и  $y$  пластинка шириной  $2b$ , длиной  $2a$  с разрезом по оси  $y$  длины  $2rb$  ( $0 < r < 1$ ), симметричным относительно оси  $x$  (фиг. 1).



Фиг. 1.

Задача сводится к определению прогибов  $w$  пластинки, удовлетворяющих в ее области дифференциальному уравнению упругой поверхности пластинки

$$\Delta \Delta w = \frac{p}{D} \quad (1.1)$$

и следующим граничным условиям:

$$w = 0, \quad \frac{\partial^2 w}{\partial y^2} + \sigma \frac{\partial^2 w}{\partial x^2} = 0 \quad \text{при } y = \pm b \quad (1.2)$$

$$w = 0, \quad \frac{\partial^2 w}{\partial x^2} + \sigma \frac{\partial^2 w}{\partial y^2} = 0 \quad \text{при } x = \pm a \quad (1.3)$$

$$\frac{\partial^2 w}{\partial x^2} + \sigma \frac{\partial^2 w}{\partial y^2} = 0 \quad \text{при } x = 0 \quad -\mu b < y < \mu b \quad (1.4)$$

$$\frac{\partial^3 w}{\partial x^3} + (2 - \sigma) \frac{\partial^3 w}{\partial x \partial y^2} = 0 \quad \text{при } x = 0 \quad -\mu b < y < \mu b \quad (1.5)$$

Для простоты принимается, что функция, выражающая распределение нагрузки, зависит только от  $y$  и разлагается в ряд Фурье

$$p = \sum_{k=1}^{\infty} a_k \cos \lambda_k y, \quad a_k = \frac{2}{b} \int_0^b p \cos \lambda_k y dy \quad (1.6)$$

Согласно [1], с учетом симметричности задачи относительно осей  $x$  и  $y$ , функция прогиба  $w$  представляется в виде

$$w = f(y) + \frac{1}{D} \sum_1^{\infty} (A_k \operatorname{ch} \lambda_k x + B_k x \operatorname{sh} \lambda_k x) \cos \lambda_k y \pm \\ \pm \frac{1}{D} \sum_1^{\infty} \frac{\alpha_k}{4\lambda_k} [(1 + \sigma) \operatorname{sh} \lambda_k x + (1 - \sigma) \lambda_k x \operatorname{ch} \lambda_k x] \cos \lambda_k y \quad (1.7)$$

где  $f(y)$  — частное решение уравнения (1.1), удовлетворяющее граничным условиям (1.2)

$$f(y) = \frac{16b^4}{\pi^4 D} \sum_1^{\infty} \frac{a_k}{k^4} \cos \lambda_k y \quad (1.8)$$

$$\lambda_k = \frac{\pi k}{2b}, \quad k = 1, 3, 5, \dots$$

$\sigma$  — коэффициент Пуассона,  $D$  — жесткость пластинки,  $A_k, B_k, \alpha_k$  — постоянные коэффициенты, подлежащие определению.

В выражении (1.7) знак плюс перед второй суммой относится к области  $x > 0$ , а минус — к области  $x < 0$ .

Нетрудно убедиться, что выражение (1.7) на линии  $x = 0$  для угла наклона  $\frac{\partial w}{\partial x}$  имеет разрыв  $\sum_1^{\infty} \alpha_k \cos \lambda_k y$ .

Следовательно, функция  $w$  должна удовлетворять еще условию непрерывности угла наклона на неразрезанной части линии  $x = 0$ , т. е.

$$\sum_1^{\infty} \alpha_k \cos \lambda_k y = 0 \quad \text{при} \quad -b < y < -\mu b \quad \text{и} \quad \mu b < y < b \quad (1.9)$$

Таким образом, для определения коэффициентов  $A_k, B_k, \alpha_k$  имеются условия (1.2), (1.3), (1.4), (1.5) и (1.9). Условия (1.2) и (1.5) удовлетворяются тождественно. Удовлетворяя граничным условиям (1.3), получаем выражения для определения коэффициентов  $A_k$  и  $B_k$

$$A_k = -\frac{16b^4 a_k}{\pi^4 k^4 \operatorname{ch} \lambda_k a} \left( 1 + \frac{\lambda_k a}{2} \operatorname{th} \lambda_k a \right) - \alpha_k \left[ \frac{1+\sigma}{4\lambda_k} \operatorname{th} \lambda_k a + \frac{1-\sigma}{4} \frac{a}{\operatorname{ch}^2 \lambda_k a} \right] \quad (1.10)$$

$$B_k = \frac{a_k}{2\lambda_k^3 \operatorname{ch} \lambda_k a} - \frac{1-\sigma}{4} \alpha_k \operatorname{th} \lambda_k a \quad (1.11)$$

Из условий (1.4) и (1.9) для определения коэффициентов  $\alpha_k$  получаются следующие „парные ряды“:

$$\sum_0^{\infty} \alpha_{2k+1} \left( k + \frac{1}{2} \right) (1 - N_k) \cos \left( k + \frac{1}{2} \right) \varphi = g(\varphi) \quad (0 < \varphi < \beta) \quad (1.12)$$

$$\sum_0^{\infty} \alpha_{2k+1} \cos \left( k + \frac{1}{2} \right) \varphi = 0 \quad (\beta < \varphi < \pi)$$

где

$$\varphi = \frac{\pi y}{b}, \quad \beta = \mu\pi \quad (1.13)$$

$$N_k = \frac{1 + e^{-2\lambda_{2k+1} a} - 2\gamma \lambda_{2k+1} a}{2 \operatorname{ch}^2 \lambda_{2k+1} a}, \quad \gamma = \frac{1-\sigma}{3+\sigma} \quad (1.14)$$

$$g(\varphi) = \sum_0^{\infty} C_k \cos \left( k + \frac{1}{2} \right) \varphi \quad (1.15)$$

$$C_k = -\frac{16b^3}{\pi^3 (1-\sigma)(3+\sigma)} \left\{ \frac{\sigma a_{2k+1}}{(2k+1)^2} + \frac{a_{2k+1}}{(2k+1)^2 \operatorname{ch} \lambda_{2k+1} a} \left[ \frac{\pi(2k+1)a}{4b} (1-\sigma) \operatorname{th} \lambda_{2k+1} a - \sigma \right] \right\} \quad (1.16)$$

Определив коэффициенты  $\alpha_k$  из системы (1.12), можно найти значения коэффициентов  $A_k$  и  $B_k$  по выражениям (1.10) и (1.11).

Следовательно, задача сводится к решению парных рядов-уравнений (1.12).

2. Приведем решение системы (1.12) к решению бесконечной системы линейных алгебраических уравнений, пользуясь методом, разработанным в работе [3].

Продифференцировав второе из уравнений (1.12) по  $\varphi$ , запишем систему (1.12) в виде

$$\sum_0^{\infty} \alpha_{2k+1} \left(k + \frac{1}{2}\right) \cos \left(k + \frac{1}{2}\right) \varphi =$$

$$= \sum_0^{\infty} \alpha_{2k+1} \left(k + \frac{1}{2}\right) N_k \cos \left(k + \frac{1}{2}\right) \varphi + g(\varphi) \quad (0 < \varphi < \beta) \quad (2.1)$$

$$\sum_0^{\infty} \alpha_{2k+1} \left(k + \frac{1}{2}\right) \sin \left(k + \frac{1}{2}\right) \varphi = 0 \quad (\beta < \varphi < \pi)$$

Первое уравнение системы (2.1) умножим на  $\frac{\sqrt{2}}{\pi} (\cos \varphi - \cos \theta)^{-1/2}$  и проинтегрируем по  $\varphi$  от 0 до  $\theta$ , а второе уравнение умножим на  $\frac{\sqrt{2}}{\pi} (\cos \theta - \cos \varphi)^{-1/2}$  и проинтегрируем по  $\varphi$  от  $\theta$  до  $\pi$ .

Используя при этом (1.15) и формулы интегрального представления полиномов Лежандра [4]

$$P_k(\cos \theta) = \frac{\sqrt{2}}{\pi} \int_0^{\pi} \frac{\sin \left(k + \frac{1}{2}\right) \varphi d\varphi}{(\cos \theta - \cos \varphi)^{1/2}}$$

$$P_k(\cos \theta) = \frac{\sqrt{2}}{\pi} \int_{\theta}^{\pi} \frac{\cos \left(k + \frac{1}{2}\right) \varphi d\varphi}{(\cos \varphi - \cos \theta)^{1/2}} \quad (2.2)$$

получим

$$\sum_0^{\infty} \left(k + \frac{1}{2}\right) \alpha_{2k+1} P_k(\cos \theta) = \sum_0^{\infty} \left(k + \frac{1}{2}\right) \alpha_{2k+1} N_k P_k(\cos \theta) +$$

$$+ \sum_0^{\infty} C_k P_k(\cos \theta), \quad (0 < \theta < \beta) \quad (2.3)$$

$$\sum_0^{\infty} \left(k + \frac{1}{2}\right) \alpha_{2k+1} P_k(\cos \theta) = 0, \quad (\beta < \theta < \pi)$$

Далее, умножаем оба уравнения системы (2.3) на  $P_n(\cos \theta) \sin \theta d\theta$  и интегрируем их по  $\theta$ : первое уравнение в пределах от 0 до  $\beta$ , а второе — от  $\beta$  до  $\pi$ . Складывая полученные уравнения, для определения коэффициентов  $\alpha_{2k+1}$  приходим к следующей системе линейных алгебраических уравнений:

$$a_{2n+1} = \sum_0^{\infty} a_{kn} a_{2k+1} + b_n \quad (2.4)$$

где

$$a_{kn} = \left(k + \frac{1}{2}\right) N_k J_{kn} \quad (2.5)$$

$$b_n = \sum_0^{\infty} C_k J_{kn} \quad (2.6)$$

$$J_{kn} = \int_0^{\beta} P_k(\cos \theta) P_n(\cos \theta) \sin \theta d\theta \quad (2.7)$$

Из [5] имеем  
при  $k \neq n$

$$J_{kn} = \frac{1}{(k-n)(k+n+1)} (1 - \cos^2 \beta) [P'_k(\cos \beta) P_n(\cos \beta) - P'_n(\cos \beta) P_k(\cos \beta)] \quad (2.8)$$

при  $k = n$

$$J_{kn} = \frac{1}{2n+1} [1 - \cos^2 \beta P_n^2(\cos \beta)] + \frac{2(n-1)}{(2n-1)(2n+1)} P_n(\cos \beta) P_{n-1}(\cos \beta) - 2 \left[ \frac{P_{n-1}(\cos \beta) P_{n-2}(\cos \beta)}{(2n-1)(2n-3)} + \dots + \frac{P_1 P_0}{3 \cdot 1} \right] \quad (2.9)$$

3. Исследуем бесконечную систему (2.4).

Оценим сумму модулей коэффициентов при  $a_{2k+1}$ .

$$S_n = \sum_0^{\infty} |a_{kn}| = \left(n + \frac{1}{2}\right) |N_n| |J_{nn}| + \sum_0^{\infty}_{k \neq n} \left(k + \frac{1}{2}\right) |N_k| |J_{kn}| \quad (3.1)$$

Приняв согласно [4]  $|P_n(\cos \beta)| < 1$ , можно получить для  $|J_{kn}|$  из выражений (2.8) и (2.9) следующие оценки:

$$|J_{kn}| < \frac{2(k+n)}{|k-n|(k+n+1)} < 2 \quad \text{при } k \neq n \quad (3.2)$$

$$|J_{kn}| < \frac{1}{2n+1} \quad \text{при } k = n \quad (3.3)$$

Из выражения (1.14) при  $a \geq b$  для  $|N_k|$  получим следующую оценку:

$$|N_k| \leq \frac{2 \left[ 1 + e^{-(2k+1)\pi} + \frac{1}{3} \pi (2k+1) \right]}{e^{(2k+1)\pi}}$$

Учитывая (3.1), (3.2) и (3.3), оценим  $S_n$

$$|S_n| < \frac{2 \left[ 1 + e^{-(2n+1)\pi} + \frac{\pi}{3} (2n+1) \right]}{e^{(2n+1)\pi}} + \frac{\operatorname{ch} \pi}{\operatorname{sh}^2 \pi} + \frac{\operatorname{ch} 2\pi}{\operatorname{sh}^2 2\pi} + \frac{\pi (\operatorname{sh}^2 \pi + 2)}{3 \operatorname{sh}^3 \pi} \quad (3.5)$$

Наибольшее значение в правой части выражения (3.4) получится при  $n=0$  и будет равно 0.3633.

Следовательно, имеем

$$S_n < 0.3633 \quad \text{для } n \geq 0 \quad (3.6)$$

Значит система (2.4), согласно [6], вполне регулярна при  $a \geq b$ .

Докажем теперь, что  $S_n$  стремится к нулю при  $n \rightarrow \infty$ . Для этого, приняв из асимптотического представления полиномов Лежандра [4]

$$P_k(\cos \beta) \approx \frac{c}{\sqrt{k}}, \quad P'_k(\cos \beta) \approx d\sqrt{k}$$

получим оценки для  $|J_{kn}|$

$$|J_{kn}| < \frac{cd}{|k-n| \sqrt{k}} \quad \text{при } k \neq n$$

$$|J_{kn}| < \frac{1}{2n+1} \quad \text{при } k = n$$

Для  $|N_k|$  примем более грубую оценку, чем (3.4)

$$|N_k| \leq \frac{2l}{2k+1}, \quad \text{где } l = \text{const}$$

Тогда из выражения (3.1) получим

$$S_n < \frac{lc}{\sqrt{n} (n+1)} + \frac{1}{2n+1} + \frac{cdl}{\sqrt{n}} \left[ \sum_1^{n-1} \frac{1}{(n-k)\sqrt{k}} + \sum_{n-1}^{\infty} \frac{1}{(k-n)\sqrt{k}} \right]$$

В силу неравенств

$$\sum_1^{n-1} \frac{1}{(n-k)\sqrt{k}} > \int_1^{n-1} \frac{dx}{(n-x)\sqrt{x}} > \sum_2^{n-1} \frac{1}{(n-k)\sqrt{k}}$$

$$\sum_{n+1}^{\infty} \frac{1}{(k-n)\sqrt{k}} > \int_{n+1}^{\infty} \frac{dx}{(x-n)\sqrt{x}} > \sum_2^{\infty} \frac{1}{(k-n)\sqrt{k}}$$

для  $S_n$  получим следующую оценку:

$$S_n < 2cdl \frac{\ln n}{n} + 0(n^{-1}) \quad (3.7)$$

Следовательно, при возрастании  $n$  величина  $S_n$  монотонно стремится к нулю, т. е.

$$\lim_{n \rightarrow \infty} S_n = 0 \quad (3.8)$$

Оценим свободные члены системы (2.4). В том случае, когда на пластинку действует только непрерывно распределенная нагрузка, согласно (1.16) коэффициенты  $C_k$  будут иметь порядок  $1/k^3$ . При этом условии из (2.6) следует, что свободные члены  $b_n$  бесконечной системы имеют тот же порядок убывания, что и члены ряда (2.6), т. е. они ограничены сверху и при  $n \rightarrow \infty$  стремятся к нулю как

$$b_n = 0(n^{-3}) \quad (3.9)$$

Из полученных оценок (3.6) и (3.9) следует [6], что система (2.4) вполне регулярна при  $a > b$  и имеет ограниченное решение. При этом, пользуясь (3.8), можно доказать методом последовательных приближений, что неизвестные  $\alpha_{2n+1}$  будут иметь тот же порядок, что и свободные члены  $b_n$  этой системы, т. е.

$$\alpha_{2n+1} = 0(n^{-3}) \quad (3.10)$$

4. В рассматриваемой задаче  $N_k$  имеет порядок  $ke^{-2k}$  и для  $S_n$  получена оценка (3.8). Однако, могут быть задачи, которые приводятся к системе (2.4), но с  $N_k$ , имеющим иной порядок убывания. Нетрудно доказать регулярность системы (2.4), если  $N_k$  имеет порядок не ниже  $1/k$ .

Пусть  $N_k = \frac{2l}{2k+1}$ , тогда получим для  $S_n$  оценку (3.7).

В случае  $N_k = 0(1/k^2)$  вместо (3.7) получим

$$S_n < 2cdl \frac{\ln n}{n \left( n + \frac{1}{2} \right)} + 0(n^{-1}) \quad (4.1)$$

Так как  $\lim_{n \rightarrow \infty} S_n = 0$ , то, начиная с некоторого  $n = n_0$ , будем иметь

$$S_n < 1 - \varepsilon \quad \text{при } n > n_0 \quad \varepsilon > 0 \quad (4.2)$$

Следовательно, бесконечная система (2.4) квази-вполне регулярна, если  $N_k$  имеет порядок не ниже  $1/k$ .

5. Определим значения изгибающих моментов на линии  $x = 0$ .

Изгибающие моменты определяются по известным формулам

$$M_x = -D \left( \frac{\partial^2 w}{\partial x^2} + \nu \frac{\partial^2 w}{\partial y^2} \right) \quad (5.1)$$

$$M_y = -D \left( \frac{\partial^2 w}{\partial y^2} + \nu \frac{\partial^2 w}{\partial x^2} \right) \quad (5.2)$$

Подставляя в (5.1) и (5.2) выражения (1.7), (1.8), (1.10), (1.11), (1.4) и учитывая симметрию, определим значения изгибающих моментов на линии  $x = 0$

$$M_x = 0 \quad \text{при} \quad 0 < y < \mu b \quad (5.3)$$

$$M_x = \frac{4b^2 \sigma}{\pi^2} \sum_0^{\infty} \frac{a_{2k+1}}{(2k+1)^2} \cos \lambda_{2k+1} y +$$

$$+ \frac{4b^2}{\pi^2} \sum_0^{\infty} \frac{a_{2k+1}}{(2k+1)^2 \operatorname{ch} \lambda_{2k+1} a} \left[ \frac{\lambda_{2k+1} a}{2} (1 - \sigma) \operatorname{th} \lambda_{2k+1} a - \sigma \right] \cos \lambda_{2k+1} y +$$

$$+ \frac{\pi(1-\sigma)(3+\sigma)}{4b} \sum_0^{\infty} \alpha_{2k+1} \left( k + \frac{1}{2} \right) (1 - N_k) \cos \lambda_{2k+1} y \quad (5.4)$$

при  $\mu b < y < b$

$$M_y = \frac{4b^2}{\pi^2} \sum_0^{\infty} \frac{a_{2k+1}}{(2k+1)^2} \cos \lambda_{2k+1} y -$$

$$- \frac{4b^2}{\pi^2} \sum_0^{\infty} \frac{a_{2k+1}}{(2k+1)^2 \operatorname{ch} \lambda_{2k+1} a} \left[ 1 + \frac{(1-\sigma) \lambda_{2k+1} a}{2} \operatorname{th} \lambda_{2k+1} a \right] \cos \lambda_{2k+1} y -$$

$$- \frac{(1-\sigma)^2 \pi}{4b} \sum_0^{\infty} \alpha_{2k+1} \left( k + \frac{1}{2} \right) (1 - L_k) \cos \lambda_{2k+1} y \quad (5.5)$$

при  $0 < y < b$

где

$$L_k = \frac{1 - e^{-2\lambda_{2k+1} a} - \lambda_{2k+1} a}{2 \operatorname{ch}^2 \lambda_{2k+1} a} \quad (5.6)$$

В выражения для  $M_x$  и  $M_y$  входит ряд

$$\sum_0^{\infty} \alpha_{2k+1} \left( k + \frac{1}{2} \right) \cos \lambda_{2k+1} y = \sum_0^{\infty} \alpha_{2k+1} \left( k + \frac{1}{2} \right) \cos \left( k + \frac{1}{2} \right) \varphi \quad (5.7)$$

который сходится не абсолютно.

Сумму ряда (5.7) на участке  $0 < y < \mu b$  ( $0 < \varphi < \beta$ ) можно найти из первого уравнения системы (1.12).

У края разреза  $y = \mu b + 0$  ( $\varphi = \beta + 0$ ) сумма ряда (5.7) обращается в бесконечность, поэтому выделим главную часть этого ряда на участке  $\mu b < y < b$  ( $\beta < \varphi < \pi$ ). Подставляя (2.4) в (5.7) и используя сумму ряда [5]

$$\sum_0^{\infty} P_k(\cos \theta) \sin \left( k + \frac{1}{2} \right) \varphi = \begin{cases} 0 & (0 \leq \varphi < \theta \leq \pi) \\ [2(\cos \theta - \cos \varphi)]^{-1/2} & (0 \leq \theta < \varphi \leq \pi) \end{cases} \quad (5.8)$$

получим



$$\begin{aligned}
& \sum_0^{\infty} \left(k + \frac{1}{2}\right) \alpha_{2k+1} \cos \left(k + \frac{1}{2}\right) \varphi = \frac{\partial}{\partial \varphi} \sum_0^{\infty} \alpha_{2k+1} \sin \left(k + \frac{1}{2}\right) \varphi = \\
& = \frac{\partial}{\partial \varphi} \sum_{k=0}^{\infty} \sin \left(k + \frac{1}{2}\right) \varphi \left[ \sum_{p=0}^{\infty} a_{kp} \alpha_{2p+1} + b_k \right] = \\
& = - \sum_{p=0}^{\infty} \left[ \left(p + \frac{1}{2}\right) N_p \alpha_{2p+1} + C_p \right] \frac{\partial}{\partial \varphi} \int_0^{\beta} P_p(\cos \theta) [2(\cos \theta - \\
& - \cos \varphi)]^{-1/2} d \cos \theta = \frac{\sin \varphi}{V \cos \beta - \cos \varphi} R + \cos \frac{\varphi}{2} \sum_{p=0}^{\infty} \left[ \left(p + \frac{1}{2}\right) N_p + \right. \\
& \left. + C_p \right] + \frac{V \sqrt{2}}{2} \sin \varphi \sum_{p=0}^{\infty} \left[ \left(p + \frac{1}{2}\right) N_p \alpha_{2p+1} + C_p \right] \int_0^{\beta} \frac{P_p'(\cos \theta) d \cos \theta}{V \cos \theta - \cos \varphi} \quad (5.9) \\
& \quad (\beta < \varphi < \pi)
\end{aligned}$$

где

$$R = - \frac{V \sqrt{2}}{2} \sum_{p=0}^{\infty} \left[ \left(p + \frac{1}{2}\right) N_p \alpha_{2p+1} + C_p \right] P_p(\cos \beta)$$

Подставив (5.9) в (5.4) и (5.5), можно получить удобные для вычислений выражения изгибающих моментов на линии  $x=0$  при  $\mu b < y < b$ .

6. Как частные случаи решаются задачи изгиба квадратной ( $a=b$ ) и бесконечной ( $a=\infty$ ) пластин с разрезом длины, равной половине ширины плиты под действием равномерно распределенной нагрузки, т. е.  $\mu = \frac{1}{2}$  и  $p = \text{const}$ .

По формулам (1.6) и (1.8) получим

$$\alpha_{2k+1} = \frac{4p(-1)^k}{\pi(2k+1)} \quad (6.1)$$

$$f(y) = \frac{p}{24D} [y^4 - 6y^2b^2 + 5b^4] \quad (6.2)$$

Из системы уравнений (2.4) определяем значения коэффициентов  $\alpha_{2k+1}$ . Затем по (1.10) и (1.11) вычисляем значения коэффициентов  $A_{2k+1}$  и  $B_{2k+1}$ . Здесь вычислены десять значений  $\alpha_{2k+1}$ ,  $A_{2k+1}$  и  $B_{2k+1}$ , которые приведены в табл. 1.

Из выражения (1.7), используя (1.10), (1.11), (6.1) и (6.2), вычисляем прогибы на линиях  $x=0$  и  $y=0$ .

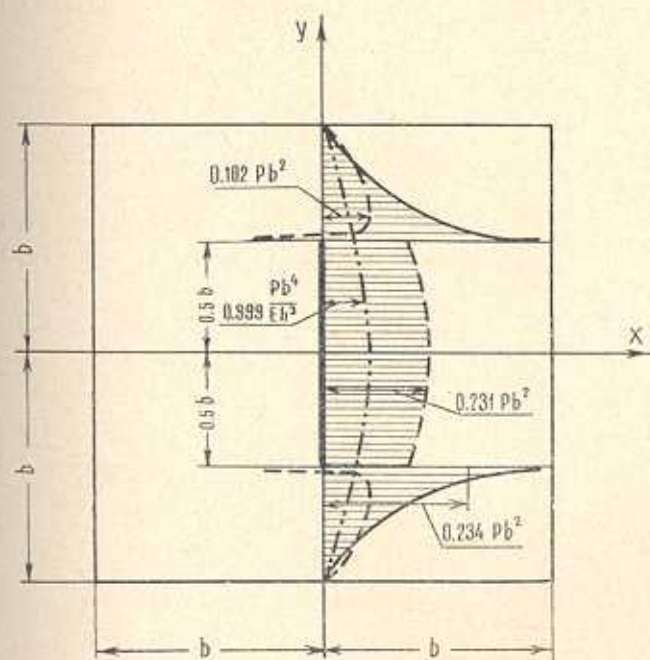
Подставив (5.9) в выражения (5.4) и (5.5), определяем значения изгибающих моментов на линии  $x=0$ . По формулам (5.1) и (5.2) вычисляем значения изгибающих моментов для квадратной пластинки на линии  $y=0$ .

Результаты приведены в табл. 2.

По значениям табл. 2 строим эпюры прогибов и изгибающих моментов на линиях  $x=0$  (фиг. 2) и  $y=0$  (фиг. 3) квадратной пластинки и на линии  $x=0$  (фиг. 4) бесконечной пластинки.

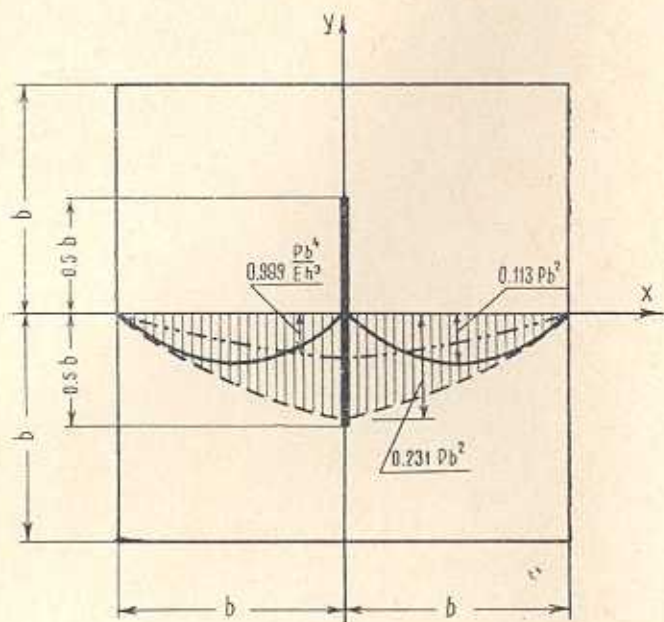
Таблица 1

$k$	$a=b$			$a=\infty$		
	$\alpha_{2k+1}/pb^3$	$A_{2k+1}/pb^4$	$B_{2k+1}/pb^3$	$\alpha_{2k+1}/pb^3$	$A_{2k+1}/pb^4$	$B_{2k+1}/pb^3$
0	-0.098253	-0.122533	0.031066	-0.066161	0.041351	0.012405
1	-0.04895	0.003300	0.009176	-0.032927	0.006860	0.006174
2	0.000262	-0.000011	-0.000049	0.000227	-0.000035	-0.000042
3	0.012351	-0.000351	-0.002316	0.008378	-0.000748	-0.001571
4	-0.000051	0.000001	0.000010	-0.000045	0.000003	0.000008
5	-0.006208	0.000112	0.001164	-0.004194	0.000238	0.000786
6	0.003881	-0.000051	-0.000728	0.002622	-0.000109	-0.000492
7	0.000020	0.000000	-0.000004	0.000017	-0.000001	-0.000003
8	-0.000010	0.000000	0.000002	-0.000009	0.000000	0.000002
9	-0.002717	0.000028	0.000509	-0.001836	0.000060	0.000344



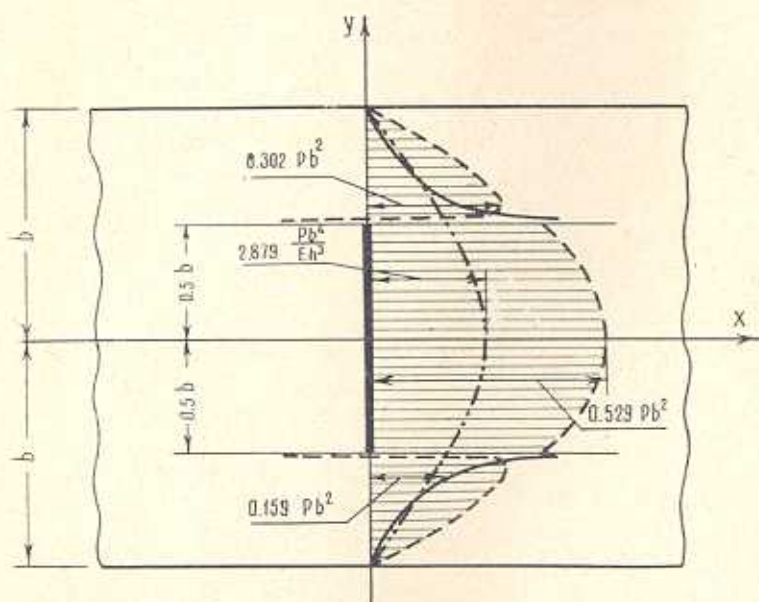
Фиг. 2.

..... эпюра  $w$ , — эпюра  $M_x$ , - - - эпюра  $M_y$ .



Фиг. 3.

..... эюра  $w$ , — эюра  $M_x$ , - - - эюра  $M_y$ ,



Фиг. 4.

..... эюра  $w$ , — эюра  $M_x$ , - - - эюра  $M_y$ .

Таблица 2

m		x = mb										y = 0											
		0.0	0.1	0.2	0.3	0.4	0.5	0.6	0.7	0.8	0.9	1.0	0.0	0.1	0.2	0.3	0.4	0.5	0.6	0.7	0.8	0.9	1.0
$w = \alpha \frac{pb^4}{Eh^3}$		0.999371	0.923704	0.848126	0.771097	0.686205	0.592684	0.489780	0.377752	0.257220	0.131187	0.00	0.999371	0.923704	0.848126	0.771097	0.686205	0.592684	0.489780	0.377752	0.257220	0.131187	0.00
$M_x = \beta pb^2$		0.00	0.036869	0.069021	0.090661	0.111998	0.113211	0.106586	0.091901	0.069722	0.038797	0.00	0.00	0.036869	0.069021	0.090661	0.111998	0.113211	0.106586	0.091901	0.069722	0.038797	0.00
$M_y = \gamma pb^2$		0.230885	0.220602	0.204032	0.186546	0.157942	0.138532	0.11642	0.091894	0.064373	0.034046	0.00	0.230885	0.220602	0.204032	0.186546	0.157942	0.138532	0.11642	0.091894	0.064373	0.034046	0.00
m		x = 0										y = mb											
m		0.0	0.1	0.2	0.3	0.4	0.5	0.6	0.7	0.8	0.9	1.0	0.0	0.1	0.2	0.3	0.4	0.5	0.6	0.7	0.8	0.9	1.0
$w = \alpha_1 \frac{pb^4}{Eh^3}$		0.999371	0.985241	0.944212	0.875835	0.782257	0.663941	0.542104	0.416351	0.282723	0.143226	0.00	0.999371	0.985241	0.944212	0.875835	0.782257	0.663941	0.542104	0.416351	0.282723	0.143226	0.00
$M_x = \beta_1 pb^2$		0.00	0.00	0.00	0.00	0.00	0.00	0.00	0.00	0.00	0.00	0.00	0.00	0.00	0.00	0.00	0.00	0.00	0.00	0.00	0.00	0.00	0.00
$M_y = \gamma_1 pb^2$		0.230885	0.229181	0.223996	0.215148	0.202230	0.184733	0.102097	0.094669	0.072717	0.041079	0.00	0.230885	0.229181	0.223996	0.215148	0.202230	0.184733	0.102097	0.094669	0.072717	0.041079	0.00
$w = \alpha_2 \frac{pb^4}{Eh^3}$		2.879471	2.83959	2.722804	2.529292	2.265221	1.935405	1.582819	1.214471	0.823320	0.416272	0.00	2.879471	2.83959	2.722804	2.529292	2.265221	1.935405	1.582819	1.214471	0.823320	0.416272	0.00
$M_x = \beta_2 pb^2$		0.00	0.00	0.00	0.00	0.00	0.00	0.00	0.00	0.00	0.00	0.00	0.00	0.00	0.00	0.00	0.00	0.00	0.00	0.00	0.00	0.00	0.00
$M_y = \gamma_2 pb^2$		0.528846	0.523557	0.507692	0.481250	0.44423	0.039663	0.301739	0.246436	0.175517	0.093020	0.00	0.528846	0.523557	0.507692	0.481250	0.44423	0.039663	0.301739	0.246436	0.175517	0.093020	0.00

-4

-8

Как видно из эпюр (фиг. 2) и (фиг. 4), наибольший прогиб  $w$  и изгибающий момент  $M_y$  (не учитывая особенностей у края разреза) получаются в центре пластинки ( $x = 0, y = 0$ ) и равны:

для квадратной пластинки

$$w_{\max} = 0.999 \frac{pb^4}{Eh^3}, \quad M_{y_{\max}} = 0.231 pb^2 \quad (6.3)$$

для бесконечной пластинки

$$w_{\max} = 2.879 \frac{pb^4}{Eh^3}, \quad M_{y_{\max}} = 0.529 pb^2 \quad (6.4)$$

При изгибе пластинки без разреза из [7] имеем:

для квадратной пластинки

$$w_{\max} = 0.7312 \frac{pb^4}{Eh^3}, \quad M_{x_{\max}} = M_{y_{\max}} = 0.184 pb^2 \quad (6.5)$$

для бесконечной пластинки

$$w_{\max} = 2.344 \frac{pb^4}{Eh^3}, \quad M_{x_{\max}} = 0.5 pb^2 \quad (6.6)$$

Сравнивая (6.3) с (6.5) и (6.4) с (6.6), видим, что наличие разреза дает увеличение наибольшего прогиба  $w_{\max}$  на 36.6%, наибольшего момента  $M_{y_{\max}}$  — на 25% в квадратной пластинке и  $w_{\max}$  — на 22.8%,  $M_{y_{\max}}$  — на 6% в бесконечной пластинке.

Ереванский политехнический институт  
им. К. Маркса

Поступила 25 VI 1967

Է. Վ. ԲԵԼՈՒԲԵՋՅԱՆ

ԵՋՐԱԳՅՈՎ ԱՉԱՏ ՀԵՆՎԱՏ ՍԻՄԵՏՐԻԿ ՃԱՔՈՎ ՈՒՂԱՆԿՅՈՒՆ ՍԱԼԻ ԾՈՒՈՒՄԸ

Ա մ փ ո փ ո լ մ

Աշխատանքում դիտարկվում է ազատ հենված ուղղանկյուն սալի ծոռով սիմետրիկ բևի ազդեցության տակ, երբ սալը ունի իր սիմետրիայի առանցքներից մեկով ուղղված և մյուս առանցքի նկատմամբ սիմետրիկ դասավորված ճեղք:

Մնդրի լուծման ժամանակ օգտագործվում է լրացուցիչ ազդեցությունների հզանակը:

Մնդիրը բերվում է «զույգ շարքերի» լուծմանը, որոնց անհայտ գործակիցները սրտչվում են՝ լրիվ սեղանային հանրահաշվական զծային հավասարումների անփոք սիստեմից:

Բերվում են թվային հաշվարկներ բառակուսի և անփոք սալերի համար, որոնց ճեղքի երկարությունը հավասար է սալի լայնության կեսին՝ հավասարաչափ բաշխված բևի ազդեցության տակ:

E. V. BELUBEKIAN

BENDING OF A RECTANGULAR PLATE FREELY SUPPORTED  
ALONG THE CONTOUR WITH A SYMMETRICAL FRACTURE

## S u m m a r y

The problem of the bending of a rectangular plate freely supported along contour with a symmetrical fracture under the action of a symmetrical external load is considered. The method of supplementary actions is used. The problem is brought to a solution of dual series-equations which in its turn is reduced to a quite regular infinite system of linear equations.

Numerical calculations are given for the case of bending of square and infinite plates with a fracture under the action of uniformly distributed load.

## Л И Т Е Р А Т У Р А

1. Сапонджян О. М. Некоторые задачи теории изгиба тонких плит. Докторская диссертация, 1949. См. также: Сапонджян О. М., ПММ, т. 13, в. 5, 1949.
2. Сапонджян О. М. Об одном случае изгиба тонкой прямоугольной плиты. Докл. АН АрмССР, т. 37, № 3, 1963.
3. Баблян А. А. Решение некоторых „парных“ рядов. Докл. АН АрмССР, т. 39, № 3, 1964.
4. Лебедев Н. Н. Специальные функции и их приложения. Гостехтеориздат, М., 1963.
5. Гобсон Е. В. Теория сферических и эллипсоидальных функций. И.-Л., М., 1952.
6. Канторович Л. В. и Крылов В. И. Приближенные методы высшего анализа. Гостехтеориздат, Л.-М., 1952.
7. Галеркин Б. Г. Собрание сочинений, т. II. Изд. АН СССР, М., 1953.
8. Тимошенко С. П. и Войновский-Кригер С. Пластинки и оболочки. Физматгиз, М., 1963.
9. Градштейн И. С., Рыжик И. М. Таблицы интегралов, сумм рядов и произведений. Физматгиз, М., 1962.